

リアルタイムキネマティック(RTK)GPSを用いた追従実験

Car following experiment by using Real Time Kinematic GPS

北海道大学大学院工学研究科	○学生員 鈴木 淳(Jun Suzuki)
北海道大学大学院工学研究科	学生員 横須 昌典(Masanori Yokokume)
北海道大学大学院工学研究科	正員 中辻 隆(Takashi Nakatsuji)
北海道大学大学院工学研究科	正員 小野寺 雄輝(Yuki Onodera)
北海道開発局開発土木研究所	正員 吾田 洋一(Yohichi Azuta)
北海道開発局開発土木研究所	正員 浅野 基樹(Motoki Asano)

1. はじめに

1993年に商業的に利用可能になったリアルタイムキネマティック(RTK)測位は、技術的な進歩によりガイダンスや機械の制御に日常的に用いられるようになった¹⁾。さらに土木構造物施工においても行われるようになり、その重要性はますます増えている²⁾。2000年5月1日(米国時間)には米国政府によりセレクティブアベイラビリティ(SA)解除が行われ、位置精度も飛躍的に向上した。また、GPS機器の操作性や経済性も向上しており、使用機会も増えることが予想されている。

このような背景のもとで2000年10月に苫小牧寒地試験道路およびその周辺で行われたRTK-GPSによる追従実験の報告を行う。

2. 走行試験

本実験は車10台にRTK-GPSを取り付けて各々の車の挙動を調べた。実験目的としては

- ・車群中における追従挙動の分析
 - ・直線部と曲線部における追従挙動の比較
 - ・追従モデルにおける新たな概念の導入
 - ・従来型計測システムとRTK-GPSシステムの比較
 - ・RTK-GPSシステムにおけるMoving試験の確立
- 等があげられる。

2.1 走行試験路³⁾

走行試験は2000年10月16日～10月18日の3日間、苫小牧市柏原にある北海道開発局開発土木研究所所有の苫小牧寒地試験道路(図1)を使用して行われた。この試走路は平成12年3月に整備され、1200mの直線区間と曲線半径50mのカーブからなる延長約2700mの周回路で、2車線道路区間、4車線道路区間、オンオフランプ区間があり、道路に関する各種実験を行うことができる特徴である。

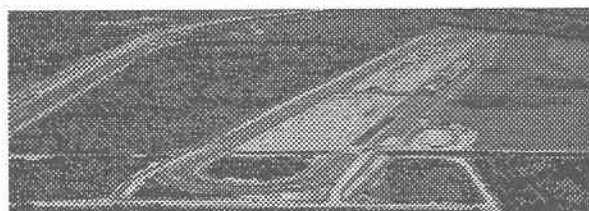


図1 苫小牧寒地試験道路³⁾

2.2 車両および運転者

試験に用いた車両及び配車順列及び運転者特性は表1の通りである。配車順列とは車の並んだ順番を表す。配車順列はAtype,Btypeの2パターン、運転者特性はOtype,Stypeの2パターンあり、各々のパターンを組み合わせて試験を行った。

表1 配車順列、車種紹介及び運転者特性

配車順列	車種紹介		運転者(年齢及運転歴)				
	A type	B type	年式	車種	全長(m)	O type	S type
先頭車 先頭車	平成3年			ハイゼット	3.29	50代40年	30歳10年
最後尾 最後尾	昭和63年			サファリ	4.80	30歳10年	50代40年
9号車 9号車	昭和60年			ピスタ	4.43	30歳10年 ^{*1)}	30歳10年
2号車 8号車	平成12年			カペラ	4.59	21歳3年	21歳3年
3号車 7号車	平成10年			ローレル	4.74	25歳3年	25歳3年
4号車 6号車	平成10年			セフィーロ	4.78	24歳5年	24歳5年
5号車 5号車	平成12年			ブルーバード	4.56	25歳3年 ^{*2)}	25歳3年
6号車 4号車	平成12年			スカイライン	4.70	23歳3年	23歳3年
7号車 3号車	平成10年			プリメーラ	4.43	22歳2年	22歳2年
8号車 2号車	平成12年			アベニールワゴン	4.65	24歳3年	24歳3年

*1)一部 46歳10年 *2)一部 25歳7年

2.3 計測機器

計測機器はトリンブルジャパン株式会社のMS750を用いた。この製品は水平2Cm垂直3Cmの精度で1秒間で20回、20ミリ秒の遅れで位置情報を出力できることを特徴としている⁴⁾。またGPSには基地局と移動局が存在し、衛星から基地局や移動局まではL1:1.5Ghz帯、L2:1.2Ghz帯の2つの周波数が用いられており、基地局から移動局へは400Mhz帯が用いられている。

走行試験路における基準局は試験道路中心に位置する小屋の屋根に固定した。街路における試験(Moving)の基準局は先頭車とした。残りの追従車にはすべてGPSアンテナ及び関連機器を取り付けている。RTK-GPS機器によって得られるデータは、時刻、絶対位置(x,y,h)、速度、方向、品質などであり、試験道路における試験では0.1秒間隔、街路における試験では0.2秒間隔で計測した。また、GPS型との比較を行うために4台の車(ハイゼット、サファリ、ピスタ、カペラ)については従来型の機器も取り付けた。従来型は車両前方に車間センサー、速度計および重心部に加速度計から構成されている。さらに、従来型のデータとGPSのデータとの同期をとるために、同期信号も出力している。従来型は0.1秒間隔で出力させた。

2. 4 試験条件

試験は大きく分けて基準局を固定している試験道路内における試験と基準局を移動としている一般道における試験 (Moving) の2種類に分けられる。

2. 4. 1 試験道路内における試験

苫小牧寒地試験道路における試験は、曲線部、直線部、交差点部および、静止状態の4種類の試験が行われた。曲線部においては試験道路における曲線区間の追従挙動を取得した。直線部においては直線部分である1200mを基準長として速度がSinカーブを描くような走行を行った。交差点部においては直線部分である1200mを2つに分け600mを基準長として、それぞれの終端部分に信号機又は手信号を設けた。静止状態は精度の検証をするために巻き尺との比較を行っている。表2は試験条件および取得データ数一覧である。尚、これらの試験は走行内容をランダムに並び替え、さらに配車順列及び運転者パターンを任意に変えて行った。

表2 試験条件一覧

道路区分	走行モード ²	内容	取得データ数
Curve (曲線部)	V40	40Km/h一定走行	2
	V60	60Km/h一定走行	2
	V80	直線部:80Km/h・曲線部:安全な速度	8
Highway (直線部)	Halfwave_060	平均40Km/h・最大60Km/hの正弦半波長	6
	Halfwave_080	平均40Km/h・最大80Km/hの正弦半波長	4
	OneWave+	平均50Km/h±20Km/hの正弦1波長+	4
	OneWave-	平均50Km/h±20Km/hの正弦1波長-	4
	TwoWaves+	平均50Km/h±20Km/hの正弦2波長+	4
	TwoWaves-	平均50Km/h±20Km/hの正弦2波長-	4
	ThreeWaves+	平均50Km/h±20Km/hの正弦3波長+	4
	ThreeWaves-	平均50Km/h±20Km/hの正弦3波長-	5
	Random	40Km/h~80Km/hの自由走行	8
	V20	20Km/h一定走行	3
Intersection (交差点部)	V40	40Km/h一定走行	4
	V60	60Km/h一定走行	2
	V80	80Km/h一定走行	4
	Acceler_040	加速傾向・信号の40m手前で赤現示	4
	Acceler_100	加速傾向・信号の100m手前で赤現示	8
	Deceler_020	減速傾向・信号の20m手前で赤現示	4
	Deceler_100	減速傾向・信号の100m手前で赤現示	4
静止状態	Random_040	自由走行・信号の40m手前で赤現示	10
	Random_100	自由走行・信号の100m手前で赤現示	6
	V40_030	40Km/h一定・信号の30m手前で赤現示	4
	V40_100	40Km/h一定・信号の100m手前で赤現示	3
	一定車間における静止状態		5

2. 4. 2 一般道における試験 (Moving)

この試験は実際の市街地道路で走行実験を行った。Moving試験は一台の車が基準局となるために、得られるデータは基準車との相対的位置となる。計測データは、時刻、相対車間(x,y,h)および品質などである。表3は試験一覧である。

表3 一般道におけるMoving試験一覧

日時	試験内容	車の台数	特記事項
9月20日	札幌市内北大周辺	2	
9月20日	札幌市内～石狩湾新港	2	
10月5日	苫小牧寒地試験道路周辺1	2	高規格道路を含む
10月5日	苫小牧寒地試験道路周辺2	2	高規格道路を含む
10月5日	静止位置測定	2	
10月5日	苫小牧市街	2	
10月5日	苫小牧東LC～輸厚P.A.	2	高速道路走行
10月5日	輸厚P.A.～札幌市内	2	高速道路走行
10月18日	苫小牧寒地試験道路内	10	1台目は基準局
10月19日	静止位置測定	4	従来型データも取得
10月19日	札幌市内～石狩湾新港	4	従来型データも取得
10月19日	石狩湾新港内	4	従来型データも取得
10月19日	石狩湾新港～札幌市内	4	従来型データも取得

3. 試験結果

3. 1 精度確認

表4は、試験道路内における試験において行われた静止状態である。時間10秒合計100個のデータの平均値、分散などである。ここで、 \bar{X}, \bar{Y} はデータの平均値、 $\Delta X, \Delta Y$ は0.1秒間隔の増減値の平均、 σ は分散を示す。また、実測値とGPSによる車間とその差を示している。表4よりX、Y座標ともにほぼ一定値であり、安定しているといえる。また、実測値との差も小さいので製品情報通りに数Cm単位の誤差であるといえる。

表4 静止位置における精度確認(試験道路内における試験)

車種	北方向 \bar{X} [m]	東方向 \bar{Y} [m]	ΔX [cm]	σ [cm]	ΔY [cm]	σ [cm]	車間 (m)	実測値 (m)	誤差 (m)
ハイゼット	-38742.21	-147986.91	0.0	0.3	0.0	0.4	8.48	8.50	-0.02
カヘラ	-38750.20	-147984.08	0.0	0.2	0.0	0.3	12.08	12.00	0.08
ローレル	-38761.91	-147981.12	0.0	0.5	0.0	0.2	8.00	8.00	0.00
セフィーロ	-38769.52	-147978.65	0.0	0.5	0.0	0.3	11.97	12.00	-0.03
ブルーバード	-38781.03	-147975.35	0.0	0.2	0.0	0.2	8.01	8.00	0.01
スカイライン	-38788.65	-147972.88	0.0	0.5	0.0	0.4	11.99	12.00	-0.01
フリメーラ	-38800.15	-147969.48	0.0	0.3	0.0	0.4	8.02	8.00	0.02
アベニールワゴン	-38807.86	-147967.29	0.0	0.1	0.0	0.1	12.01	12.00	0.01
ビスタ	-38819.46	-147964.21	0.0	0.4	0.0	0.2	8.57	8.50	0.07
サファリ	-38827.73	-147961.94	0.0	0.5	0.0	0.4			

3. 2 試験道路内における試験結果

図2は3波長(Three wave+)の走行パターンにおける試験結果、図3は交差点部における加速傾向かつ40m手前で赤現示における試験(Acceler_040)結果である。横軸が時間(s)であり縦軸が速度(Km/h)であり、上から先頭車、二号車、三号車…と続く。

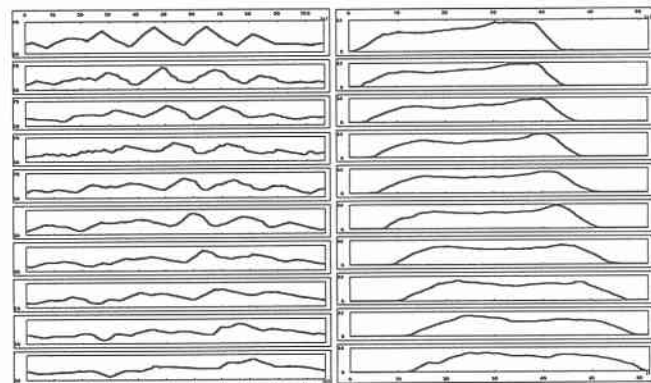


図2 Three Waves+

図3 Acceler_040

4. 結論

RTK-GPSを用いた測定は、計測ミスが少ない、精度が格段に良い、曲線部における追従挙動が調べられる等の利点がある反面、市街地のMovingにおいてはノイズや陰により思うようにデータが取りづらい等の欠点があげられる。以上よりRTK-GPSは追従実験において従来型にとってかわる。

5. 謝辞

本研究において、RTK-GPSの機材貸与および技術指導に対して多大な協力を賜ったトリンブルジャパン(株)の岩部氏らの関係各位に記して謝意を表します。

6. 参考文献

- Nicholas C.Talbot, 1998, Rescent Advances in Real-Time Kinematic
- 町田聰, 1994, 地理情報システム・入門 & マスター
- 北海道開発局交通研究室, 2000, 北海道の交通事故統計ポケットブック
- MS750 製品仕様書, 2000, トリンブルジャパン(株)